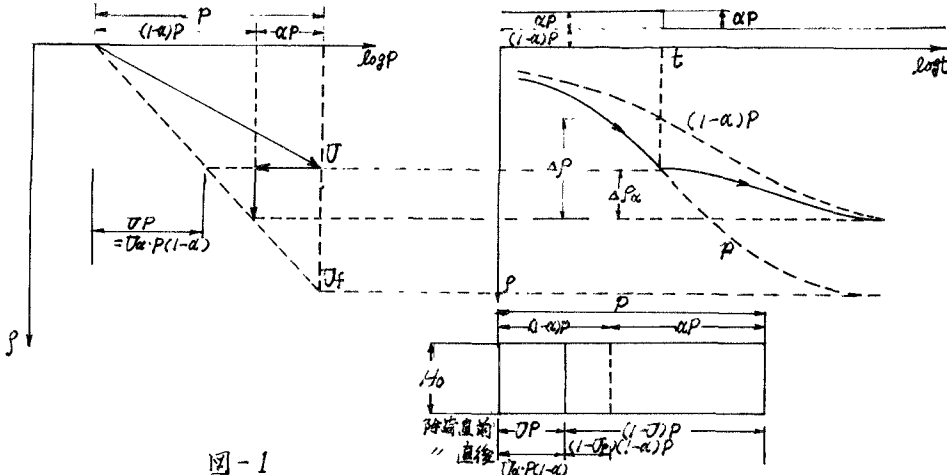


東海大学工学部 正員 稲田 健博  
 メンター 赤石 勝  
 東海大学大学院 学生員 小崎 明

## 1. まえがき

サーマージ工法またはプレロード工法では、まず築造物の載荷重にサーマージを加えた荷重  $P$  を載荷して地盤を圧密させた後、サーマージ  $\alpha P$  を除荷する。この工法によれば築造物に対する地盤の強度を少し、残留沈下量を減少させることができるが、これらの結果は、サーマージの大きさ  $\alpha P$  と載荷時間  $t$  によって相異する。

いま、圧密粘土層厚を  $H_0$  とし、載荷重  $P$  によつて平均圧密度が  $(1-\alpha)P$  になるまで圧密した後、除荷した時のとすれば、除荷後の沈下量は、図-1 に示した如くで与えられ、サーマージを行なわれない場合の  $t$  時間後の沈下量よりかなり小さい値になるとされている。しかし、実際の現場観測によれば、図-1 に示すほどの効果が得られないことが多い。除荷時以降の圧密現象を明らかにし、又サーマージの効果および残留沈下量を調べる目的で、等方三軸圧密試験および標準圧密試験を行なつた。



## 2. 試料および実験方法

実験に用いた試料は、砂分 126%，シルト分 63.4%，粘土分 24.0%，の飽和度にシルト質粘土で  $\text{Hs} = 62.7\%$ ， $W_p = 36.4\%$ ， $G_s = 2.72$  である。この粘土をペースト状に十分練り返し、三軸室内で等方圧  $0.3 \text{ kN/cm}^2$  を加えて圧密した後、高さ  $20 \text{ mm}$ 、径  $150 \text{ mm}$  の供試体を作成した。まず三軸圧密試験では、三軸室内で供試体に再び  $0.3 \text{ kN/cm}^2$  の等方圧力を加えて予備圧密を行なつた。その後、等方圧力を  $P = 1.2 \text{ kN/cm}^2$  加えて  $1.5 \text{ kN/cm}^2$  として圧密し、それ以後圧密時間  $t$  が、 $1, 5, 10, 20, 20, 40, 60, 80$ 、および  $120 \text{ min}$  経過した後、 $\alpha P$  の除荷を行なつて除荷後の圧密状態を調べた。なお除荷重は各圧密時間ごとに、 $1.2 \text{ kN}$ ， $0.8 \text{ kN}$ ， $0.6 \text{ kN}$ 、および  $0.4 \text{ kN}$  とした。

従つてサーマージ比  $\alpha = \alpha P / P$  は、それぞれ  $1/3$ ， $1/4$ ， $1/6$ 、および  $1/8$  である。このほか  $P = (1-\alpha)P$  に相当する荷重による圧密試験を行なつた。三軸圧密は、上部排水により、供試体底部で間隙水圧を測定するとともに圧密中の軸ひずみをダイヤルゲージで、体積ひずみを排水量で測定した。この三軸圧密では、等方圧力を供試体に加えながら、供試体の高さ/直徑 =  $1/7.5$  であるため上下載荷板が供試体に与える拘束が大きく、後で述べるような異方変形が行なわれている。なお、標準圧密試験についても、荷重段階その他の条件をできるだけ三軸圧密試験の条件に合わせるようにして行なつた。

### 3. 実験結果.

#### 1) 三軸圧密, $\epsilon_1 \sim \log t$ 曲線.

三軸圧密試験から求めた、軸ひずみ  $\epsilon_1$  と圧密時間  $\log t$  の関係のうち  $\alpha = \frac{1}{2}$  の場合を図-2に示した。すなは  $t = 20\text{ min}$  まで圧密した後  $\alpha$  をそれぞれ  $1, \frac{1}{2}, \frac{1}{3}, \frac{2}{3}$  および 0 として除荷した場合の  $\epsilon_1 \sim \log t$  の関係を図-3に示す。

これらの結果によると、

- ①. 除荷と同時に膨脹ひずみが生じるが、時間の経過と共に圧密ひずみが卓越してゆく。初期の膨脹ひずみは  $\alpha$  が大きいほど大きい。

②.  $P$  で  $t$  時間圧密し  $\alpha P$  を除荷した場合の最終圧密ひずみと最初から  $(1-\alpha)P$  を載荷して圧密し  $t$  時間の最終ひずみと一致している。

③.  $\alpha = \frac{1}{2}$  の場合  $t = 60\text{ min}$  までの除荷では、 $(1-\alpha)P$  による最終ひずみと一致するが、それ以上の時間を経過した時、除荷したときは  $P$  による最終ひずみより大きいかずみを与える。

#### 2) 三軸圧密, $\epsilon_V \sim \log t$ .

三軸圧密試験から求めた体積ひずみ  $\epsilon_V$  と圧密時間のうち  $\alpha = \frac{1}{2}$  の場合を図-4に示した。

この結果によると、

- ①. 全体として  $\epsilon_V \sim \log t$  曲線と似ているが除荷直後の形が異る。
- ②.  $t = 80\text{ min}$  以後除荷した場合に  $(1-\alpha)P$  による最終ひずみ量より大きくなる。

#### 3) 三軸圧密, $U \sim \log t$ .

三軸圧密試験において不透水の底面に接する供試体の部分で測定した間隙水圧  $U$  と時間  $\log t$  の関係のうち  $\alpha = 1$  による結果を図-5に示した。

この結果から

- ①. 間隙水圧は、除荷と同時に瞬間にさがりて減少した後、時間の経過と共にさらに漸減していく。
- ②.  $P$  を当初から載荷して圧密した場合の  $U \sim \log t$  曲線と  $(1+\alpha)P$  を載荷して時間圧密し、その後  $\alpha P$  の除荷を行なった場合の  $U \sim \log t$  曲線はいじらしく相異する。
- ③. 除荷直後の間隙水圧を除荷時間に対しプロットしたのが破線である。 $(1-\alpha)P$  を当初から

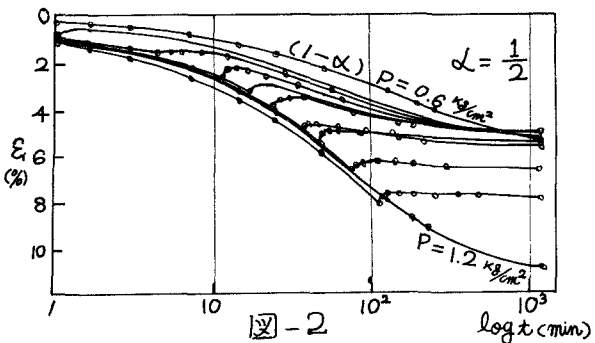


図-2

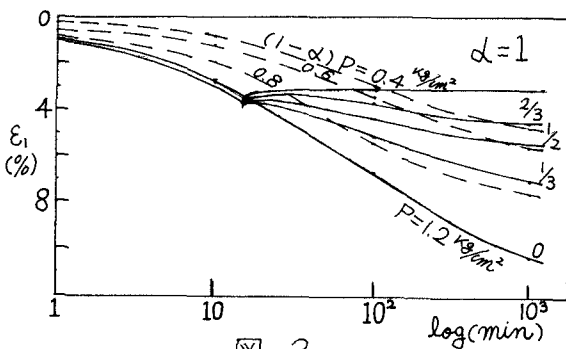


図-3

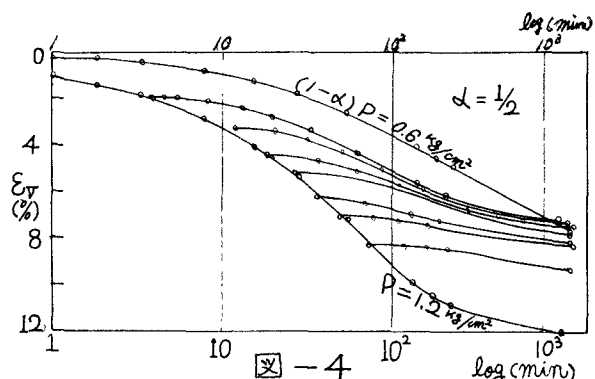


図-4

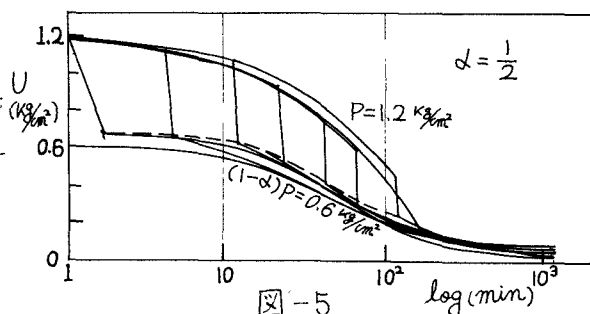


図-5

圧密した時の間隙水圧にいくぶん高いが類似した曲線を描いている。

4) 標準圧密  $\varepsilon_i \sim \log t$ ,

$\alpha = \frac{1}{2}$  の場合を図-6に、三軸の  $\varepsilon_i \sim \log t$  を示す。図-2と比較してみると、最初から  $(1-\alpha)P$  を載荷して圧密した場合の最終ひずみよりいくぶん大きい最終ひずみとなるが、三軸圧密試験と同様な結果が得られている。

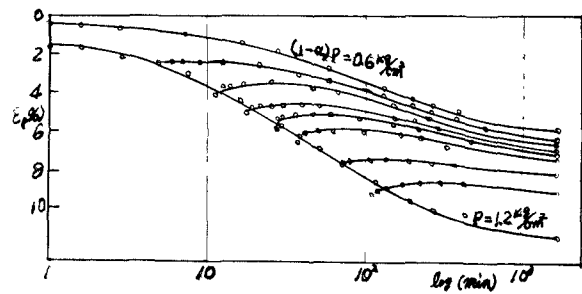


図-6

#### 4. 考察

##### 1) 三軸圧密試験における異方性。

図-7は、体積ひずみ  $\varepsilon_V$  と軸ひずみ  $\varepsilon_i$  の相関関係をプロットしたものである。また等方線 ( $\varepsilon_i = \frac{1}{3} \varepsilon_V$ )、 $K_0$ 線 ( $\varepsilon_i = \varepsilon_V$ ) を破線で示した。測定結果よりプロットした線は等方線よりかなりずれており、等方圧を加えたものにもかかわらず、実験には、 $K_0$ 線に近い異方性を示している。

これは前に述べたように上下載荷重板のフリクションなどがかなり影響したものと思われる。また、除荷後の  $\varepsilon_i \sim \varepsilon_V$  の関係をプロットしてみると除荷しない場合の線からはずれ、等方線がわによく傾向がみられる。それは、除荷する圧密度によくてもいくぶん異っており、除荷することにより、また、除荷する圧密度によくても異方性が変化しているようである。

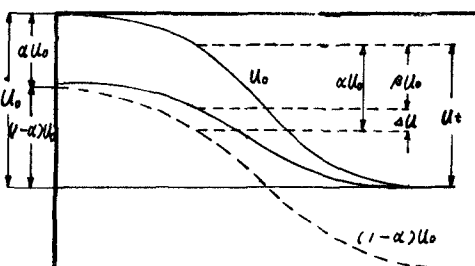


図-7.

##### 2) 除荷後の圧密量。

除荷によって減少する水圧を図-8のように  $\Delta u_{\text{av}}$  として圧密度に対して示すと図-9のようになる。  $\alpha$  をパラメータとして圧密度  $U$  に対してほぼ直線的に変化する  $\beta$  が得られる。図-5の  $u_i \sim \log t$  の関係から  $\Delta P$  の除荷によって減少する水圧は、 $\alpha u_i$  ではなく  $\beta u_i$  であることがわかる。このことより、除荷による間隙水圧減少  $-\Delta u$  については、次式が考えられる。

$$-\Delta u = -\Delta u_{\text{av}} + \Delta u_c$$

$\Delta u_{\text{av}}$  は平均主応力による水圧。

$\Delta u_c$  は軸差応力を受けた粘土のダイレクタンシーによる水圧。

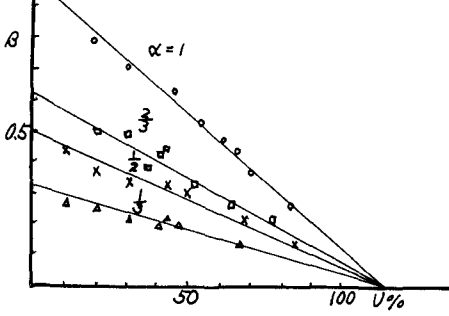


図-9

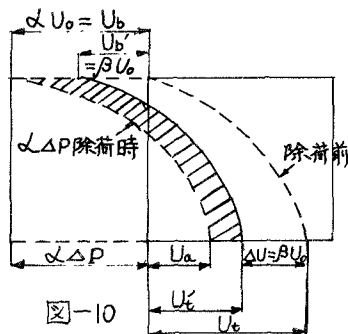
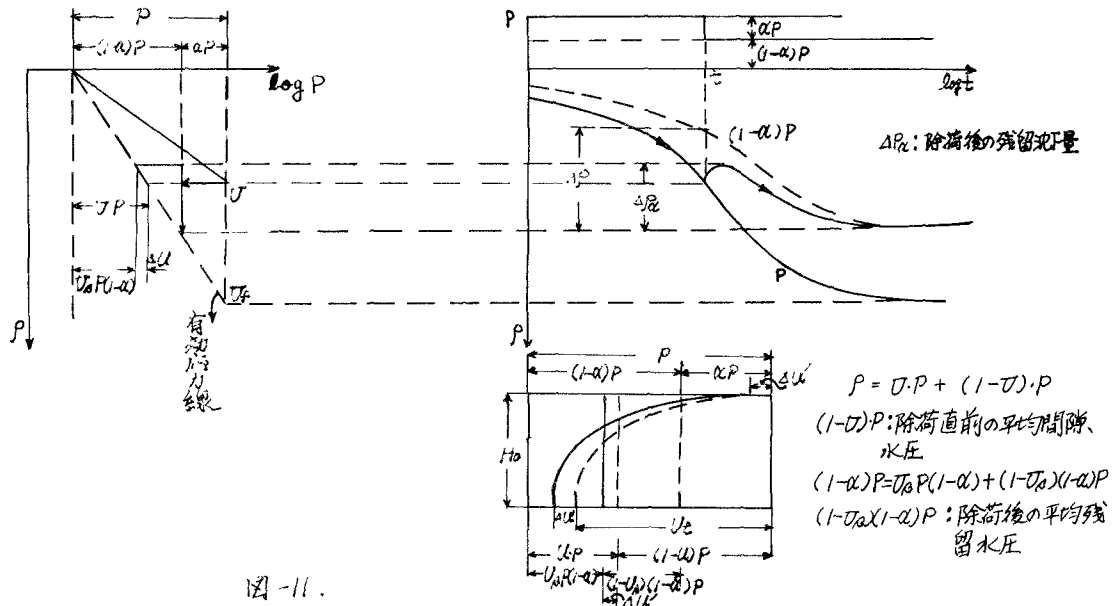


図-1に示した従来の考え方には、以上のような点を考慮するに図-11に示すようになり、期待する残留沈下よりも残留水圧増分 $\Delta U' = \alpha\% U_a$ によりそれだけ大きく沈下すると考えられる。



### 5 おわりに。

除荷による間隙水圧の減少分は応力の減少分と一義的に説明しえないものと思われ、間隙水圧の減少量機構をミクロ的立場から検討していくつもりである。また今回の報告で小れなかつた除荷後の $m_u$ ,  $C_u$ の圧密諸係数や、まだ未解決な二次圧密問題について検討していくことを今後の課題としたい。

最後に本実験に協力してくれた本学卒研究生の萩本明雄、向武晴己、宮崎淳君に感謝の意を表します。

参考文献 1) 稲田信徳, “軟弱地盤の調査から設計施工まで。”鹿島出版会。

2). Stanley J.Johnson, "Precompression for improving Foundation soil." A.S.C.E. 1970.

3). 稲田, 赤石, 外崎, “粘土の降荷後の特性について。”29回土木学会年次学術講演概要集, 1974.